

## 1. まえがき

有限要素法の基本である各要素の剛性行列の作り方には、変位を仮定する方法、応力を仮定するHybrid法、Mixed法等の方法。この内応力を仮定するHybrid法は、T.H.H.Pianによって提案され、R.T.Syreen & P.R.Taylor, R.J.Allwood & G.M.M.Cornes, R.D.Cook等によってその優秀性が確立されて1970年代からある。要素の剛性行列を作成までの計算が厄介なため、実用には使われることが少ないようである。一方変位を仮定する方法は、多くの学者によって研究改良され、現在では曲面要素の剛性行列を作成する方法によつておこなつてゐる。そこで応力を仮定するHybrid法を曲面要素にまで拡張し、変位を仮定した場合の曲面要素と比較し、両者の優劣を競争することを目的とした。

## 2. 応力を仮定する Hybrid 法

おとの説明で必要にならぬので、応力を仮定する Hybrid 法の原理を簡単に述べておく。補足エネルギー-応力指定の境界で  $f_0 = C\beta - \bar{f}_0$  を3條件式つけ加え式(1)の要分を取ると式(2)となる。

$$-\frac{1}{2} \int \left( \nabla f_0^T \nabla dV + \int_{\Gamma} f_0^T u_i dS_u + \int u_i^T (f_0 - \bar{f}_0) dS \right) \dots (1) \quad \left( \int S_0^T D^{-1} \nabla dV + \int S_0^T C^T dS \right) + \left( \int S_0^T C^T dV - \int S_0^T f_0^T dS \right) = 0 \dots (2)$$

ここで応力を  $\sigma = P\beta + \bar{\sigma}$  と仮定する。この仮定された応力は要素内で結合条件式を満足するものでなければならぬ。 $P$  は未確定数のベクトル、 $\beta$  は形標の関数を要素に亘り行引し、 $\bar{\sigma}$  は結合条件式の解である。また要素の境界の変位を  $\bar{u}$  とは独立に、接続点の変位  $u_1 \sim u_n$  を左に並べたベクトルと、形標の関数を要素に亘り行引しの総とて  $u = \bar{u} + \beta$  と仮定する。これらの仮定を式(2)に代入すると

$$\delta \beta^T (-H\beta - \bar{f}_2 + \bar{f}) + \delta \bar{u}^T (\bar{f}^T \beta + \bar{f}_1 - f) = 0 \dots (3)$$

計算され、前のかつこ内を 0 といた式から  $\beta = H^T \bar{f} - H^T \bar{f}_2$ 、これを後のかつこを 0 とおひいた式に代入すると次の基本式が得られる。  
 $f = \bar{f}^T H^T \bar{f} + f_f \dots (4)$

$$\text{左} \rightarrow 1, \text{式を簡単にするため } H \equiv \int P^T D^{-1} P dV, \quad \bar{f} \equiv \int P^T C^T U dS \dots (5)$$

とおひた。なお  $\bar{f}_1 \equiv \int L^T C^T dS - \int L^T f_i dS, \quad \bar{f}_2 \equiv \int P^T D^{-1} \bar{f} dV, \quad f_f \equiv \bar{f}_1 - \bar{f}^T H^{-1} \bar{f}_2$  であるがこれらは今回の議論には必要かない。

## 3. 曲面を持つフレート要素

要素の剛性行列は、式(4)の  $\bar{f}$  が  $\bar{f}$  であるから、式(5)を参照しながら、 $H$  と  $\bar{f}$  の行列を作成しておけば、おとの計算は簡単な法。

図1(a) は本章基準要素内の物理量中で適宜配置した接続点中の値 ( $u_1 \sim u_n$ ) を用いて、式(4)を表すことを示す。

$$\phi = g_{1}(3, \eta) \phi_1 + g_{2}(3, \eta) \phi_2 + \dots + g_n(3, \eta) \phi_n \dots (6)$$

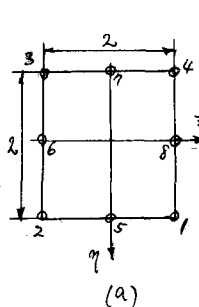
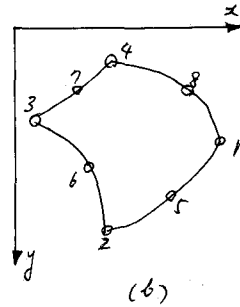


図 1



式(6)の $\varphi_1(3,\eta)\sim\varphi_n(3,\eta)$ は2次元の補間関数(Shape function)である。これらを用いると、図1(c)の曲面要素内の任意の一点の座標 $(x,y)$ は、直角の接続直の座標 $((x_1,y_1)\sim(x_n,y_n))$ を用いて、次のようになります。 $x=\varphi_1(3,\eta)x_1+\varphi_2(3,\eta)x_2+\cdots+\varphi_n(3,\eta)x_n, y=\varphi_1(3,\eta)y_1+\varphi_2(3,\eta)y_2+\cdots+\varphi_n(3,\eta)y_n \dots\dots\dots(7)$

一方、アーティの剛体条件式で右辺を0とおいた同様式を満足する応力と1つ式(8)を仮定する。

$$\begin{bmatrix} \sigma_x \\ \sigma_y \\ \tau_{xy} \end{bmatrix} = \begin{bmatrix} 1 & 0 & 0 & y_0 & x_0 & y^2 & 0 & x^2 & 2xy & 0 \\ 0 & 1 & 0 & 0 & x & 0 & x^2 & y^2 & 0 & 2xy \\ 0 & 0 & 1 & 0 & 0 & -y & x & 0 & 0 & -2xy & -y^2 & -x^2 \end{bmatrix} \begin{bmatrix} \beta_1 \\ \vdots \\ \beta_{12} \end{bmatrix} \dots\dots\dots(8) \quad D^{-1} = \frac{1}{E} \begin{bmatrix} 1-\nu & 0 \\ \nu & 1 & 0 \\ 0 & 0 & 2(1+\nu) \end{bmatrix} \dots\dots\dots(9)$$

式(8)の右辺の $3\times 12$ の行列が $\bar{P}$ である。これと式(9)の $D^{-1}$ を用いて式(5)のH行列を計算すればよい。この計算にあたって、 $P$ の要素は含まない $x, y$ は式(7)を用いることにすることとする。

$$H = \int \bar{P}^T(x,y) D^{-1} \bar{P}(x,y) dV = \int \int \int \bar{P}(3,\eta) D^{-1} \bar{P}(3,\eta) |J| d\eta d\eta dV \dots\dots\dots(10)$$

となる。左辺の $|J|$ はヤコビの行列である。上式の最後の積分の値をガウスの数値積分公式で求めればよい。

次にT行列であるが、式(5)のゆき式は要素の固有に応じた積分方法、 $\beta_i = C P \beta$ は要素内の応力と式(8)のよき式に仮定したとき固有に現われた応力、Cは固有に左右の外向きの法線の方向余弦を $n_x, n_y (=dx/d\eta, -dy/d\eta)$ とするととき以下の左の形を1つ(行)式、またLは要素の固有の変位を一次元の補間関数 $\varphi_i(\eta) \sim \varphi_n(\eta)$ を用いて右の右のように仮定したとき、右辺に表示する2次元のT行列式 $T$ である。

$$C = \begin{bmatrix} n_x & 0 & n_y \\ 0 & n_y & n_x \end{bmatrix} \dots\dots\dots(11) \quad \begin{bmatrix} u \\ v \end{bmatrix} = \begin{bmatrix} \varphi_1(\eta) & 0 & \varphi_2(\eta) & 0 & \cdots & \varphi_n(\eta) & 0 \\ 0 & \varphi_1(\eta) & 0 & \varphi_2(\eta) & \cdots & 0 & \varphi_n(\eta) \end{bmatrix} \begin{bmatrix} u_1 \\ \vdots \\ u_n \end{bmatrix} \dots\dots\dots(12)$$

固有積分を各要素の積分12分割し、各々の凸を構成する曲線の方程式と補間関数 $\varphi_i(\eta)$ を用いて $x=x(\eta), y=y(\eta)$ とすると

$$T = \int \bar{P}^T C^T L \frac{d\eta}{d\alpha_{12}} d\alpha_{12} + \int \bar{P}^T C^T L \frac{d\eta}{d\alpha_{23}} d\alpha_{23} + \int \bar{P}^T C^T L \frac{d\eta}{d\alpha_{34}} d\alpha_{34} + \int \bar{P}^T C^T L \frac{d\eta}{d\alpha_{41}} d\alpha_{41} \dots\dots\dots(13)$$

式(12)、図1(a)を参照すると、 $\alpha_{12}, 23, 34, 41$ の3式は、積分の向きを考慮すると、式(7)の $(3,\eta)$ を $(-3,1), (-1,-1), (3,-1), (1,1)$ とおり反対の順序に並べることで解く。また式(13)の $\alpha_{ij}$ は左から $\alpha_{12}=-3, \alpha_{23}=1, \alpha_{34}=3, \alpha_{41}=1$ であるから、4式3列は次のように計算すればよい。

$$T = \int \bar{P}^T(3,\eta) C^T \frac{d\eta}{d\alpha_{12}} d\alpha_{12} + \int \bar{P}^T(-1,-1) C^T \frac{d\eta}{d\alpha_{23}} d\alpha_{23} + \int \bar{P}^T(-3,1) C^T \frac{d\eta}{d\alpha_{34}} d\alpha_{34} + \int \bar{P}^T(1,1) C^T \frac{d\eta}{d\alpha_{41}} d\alpha_{41} \dots\dots\dots(14)$$

左辺、C行列に含まれる $n_x, n_y$ は、 $\frac{dx}{d\eta}/\frac{d\alpha}{d\eta}, -\frac{dy}{d\eta}/\frac{d\alpha}{d\eta}$ または $\frac{dx}{d\eta}/\frac{d\alpha}{d\eta}, -\frac{dy}{d\eta}/\frac{d\alpha}{d\eta}$ で計算する。

#### 4. 計算結果

図2, 3は本文に示した計算結果( $S_B, \eta_B$ )と実位を比較するIsoparametric要素(404)との比較を行っている。以下も三角形4接続要素であり、 $\eta_B$ は式(5)の $\beta$ の数を上から5個取ったもの、 $S_B$ は同じく1つ5個取ったものである。この図からだけではよく解らぬので、 $\eta_B$ 、 $S_B$ 、および $x, y$ の変位をアーティして全体を統合して判断すると、固有外直線のとき正確といえる。Hybrid法の優位性は明らかである。ただし、これはよろしくある。なお、Slab要素については、次の機会で発表する。

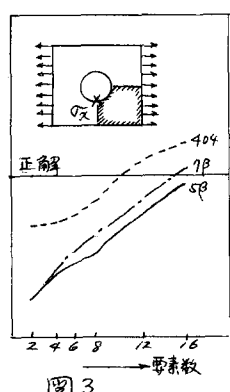


図3

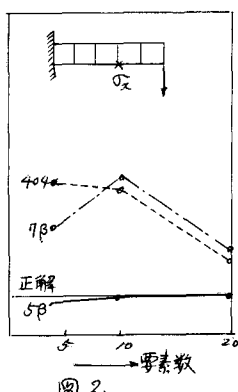


図2